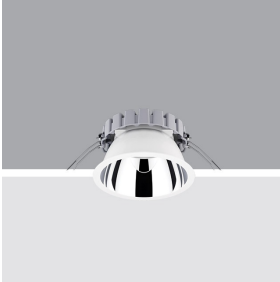


Letzte Aktualisierung der Informationen: März 2025

Produktkonfiguration: R455.39

R455.39: Ø 163 - 3000K - CRI80 - UGR<19 - INVERTER - Weiß/Ref: Alu



Produktcode

R455.39: Ø 163 - 3000K - CRI80 - UGR<19 - INVERTER - Weiß/Ref: Alu

Beschreibung

Festinstallierte Rundleuchte für den Einsatz von LED-Lichtquellen mit CoB-Technologie. Version mit Falz zur aufgesetzten Installation. Hochglänzender, aluminiumbedampfter Kunststoffreflektor mit kratzfester Schutzschicht. Wärmeableiter aus grau lackiertem Aluminiumdruckguss. Produkt komplett mit LEDs im Farbton Warm White 3000K und Mikrofilm für einen Lichtstrom von UGR<19 L<3000 cd/qm ideal für Flächen mit Bildschirmarbeitsplätzen. Leuchte komplett mit Inverter-Einheit für Notbeleuchtung.

Installation

Leichte Installation mittels Drehfedern in abgehängte Decken mit einer Stärke von 1 - 20 mm.

Farben

Weiß/Ref: Alu (39)

Gewicht (Kg)

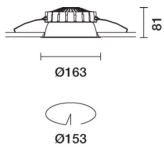
1.13

Montage

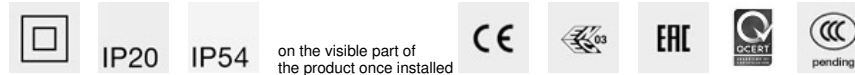
Deckenanbauleuchte

Verkabelung

Leuchte komplett mit INVERTER für Notbeleuchtung



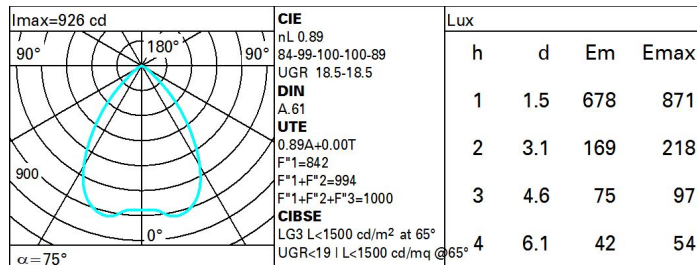
Gemäß der Normen EN60598-1 u. Sondernormen



Technische Daten

| | | | |
|---|------|---|--|
| Im System: | 1291 | Lebensdauer LED 1: | > 50,000h - L90 - B10 (Ta 25°C) |
| W System: | 13.3 | Lampencode: | LED |
| Im Lichtquelle: | 1450 | Anzahl Lampen in Leuchtengehäuse: | 1 |
| W Lichtquelle: | 8.3 | ZVEI-Code: | LED |
| Lichtausbeute (lm/W, Systemwert): | 97 | Anzahl Leuchtengehäuse: | 1 |
| Im im Notlichtbetrieb: | - | Leistungsfaktor: | Sehen Montageanleitung |
| abgegebener Lichtstrom bei/ über einem Winkel von 90° [lm]: | 0 | Einschaltstrom: | 20 A / 200 µs |
| Leuchtenbetriebswirkungsgrad 89 (L.O.R.) [%]: | | maximale Anzahl Leuchten pro Sicherungsautomat: | B10A: 14 Leuchten B16A: 23 Leuchten C10A: 23 Leuchten C16A: 39 Leuchten |
| CRI (minimum): | 80 | Überspannungsschutz: | 2kV Gleichtaktspannung und 1kV Gegentaktspannung |
| Farbtemperatur [K]: | 3000 | Control: | On/off |
| MacAdam Step: | 2 | | |

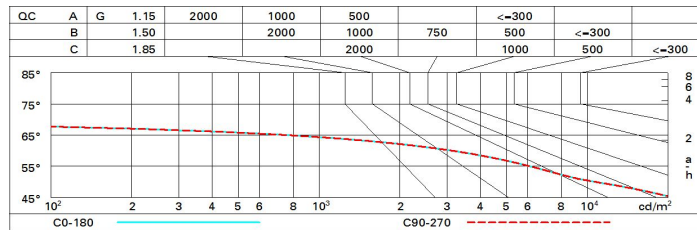
Polardiagramm



Wirkungsgrad

| R | 77 | 75 | 73 | 71 | 55 | 53 | 33 | 00 | DRR |
|------|----|----|----|----|----|----|----|----|-----|
| K0.8 | 74 | 68 | 64 | 61 | 67 | 64 | 63 | 59 | 67 |
| 1.0 | 79 | 73 | 70 | 67 | 72 | 69 | 69 | 65 | 73 |
| 1.5 | 85 | 81 | 78 | 75 | 80 | 77 | 76 | 73 | 82 |
| 2.0 | 88 | 85 | 83 | 81 | 84 | 82 | 81 | 78 | 88 |
| 2.5 | 90 | 88 | 86 | 85 | 87 | 85 | 84 | 81 | 91 |
| 3.0 | 92 | 90 | 88 | 87 | 88 | 87 | 86 | 83 | 93 |
| 4.0 | 93 | 91 | 90 | 89 | 90 | 89 | 88 | 85 | 95 |
| 5.0 | 94 | 92 | 91 | 91 | 91 | 90 | 88 | 86 | 96 |

Söllner-Diagramm



UGR-Diagramm

| Corrected UGR values (at 1450 lm bare lamp luminous flux) | | | | | | | | | | | |
|---|------|------|------|------------------|------|------|------|----------------|------|---------|------|
| Reflect.: | | | | | | | | | | | |
| ceiling/cav | | 0.70 | 0.70 | 0.50 | 0.50 | 0.30 | 0.70 | 0.70 | 0.50 | 0.50 | 0.30 |
| walls | | 0.50 | 0.30 | 0.50 | 0.30 | 0.30 | 0.50 | 0.30 | 0.50 | 0.30 | 0.30 |
| work pl. | | 0.20 | 0.20 | 0.20 | 0.20 | 0.20 | 0.20 | 0.20 | 0.20 | 0.20 | 0.20 |
| Room dim | | | | | | | | | | | |
| x | y | | | viewed crosswise | | | | viewed endwise | | | |
| 2H | 2H | 19.0 | 19.8 | 19.3 | 20.0 | 20.3 | 19.0 | 19.8 | 19.3 | 20.0 | 20.3 |
| | 3H | 18.9 | 19.5 | 19.2 | 19.8 | 20.1 | 18.9 | 19.6 | 19.2 | 19.9 | 20.2 |
| | 4H | 18.8 | 19.4 | 19.1 | 19.7 | 20.0 | 18.8 | 19.5 | 19.2 | 19.8 | 20.1 |
| | 6H | 18.7 | 19.3 | 19.1 | 19.6 | 19.9 | 18.8 | 19.3 | 19.1 | 19.7 | 20.0 |
| | 8H | 18.7 | 19.2 | 19.1 | 19.6 | 19.9 | 18.7 | 19.3 | 19.1 | 19.6 | 20.0 |
| | 12H | 18.6 | 19.2 | 19.0 | 19.5 | 19.9 | 18.7 | 19.2 | 19.1 | 19.6 | 19.9 |
| 4H | 2H | 18.8 | 19.5 | 19.2 | 19.8 | 20.1 | 18.8 | 19.4 | 19.1 | 19.7 | 20.0 |
| | 3H | 18.7 | 19.2 | 19.1 | 19.6 | 19.9 | 18.7 | 19.2 | 19.1 | 19.6 | 19.9 |
| | 4H | 18.6 | 19.1 | 19.0 | 19.4 | 19.8 | 18.6 | 19.1 | 19.0 | 19.4 | 19.8 |
| | 6H | 18.5 | 18.9 | 18.9 | 19.3 | 19.7 | 18.5 | 18.9 | 18.9 | 19.3 | 19.7 |
| | 8H | 18.5 | 18.8 | 18.9 | 19.3 | 19.7 | 18.5 | 18.8 | 18.9 | 19.3 | 19.7 |
| | 12H | 18.4 | 18.8 | 18.9 | 19.2 | 19.6 | 18.4 | 18.8 | 18.9 | 19.2 | 19.6 |
| 8H | 4H | 18.5 | 18.8 | 18.9 | 19.3 | 19.7 | 18.5 | 18.8 | 18.9 | 19.3 | 19.7 |
| | 6H | 18.4 | 18.7 | 18.9 | 19.1 | 19.6 | 18.4 | 18.7 | 18.9 | 19.1 | 19.6 |
| | 8H | 18.3 | 18.6 | 18.8 | 19.1 | 19.6 | 18.3 | 18.6 | 18.8 | 19.1 | 19.6 |
| | 12H | 18.3 | 18.5 | 18.8 | 19.0 | 19.5 | 18.3 | 18.5 | 18.8 | 19.0 | 19.5 |
| 12H | 4H | 18.4 | 18.8 | 18.9 | 19.2 | 19.6 | 18.4 | 18.8 | 18.9 | 19.2 | 19.6 |
| | 6H | 18.3 | 18.6 | 18.8 | 19.1 | 19.6 | 18.3 | 18.6 | 18.8 | 19.1 | 19.6 |
| | 8H | 18.3 | 18.5 | 18.8 | 19.0 | 19.5 | 18.3 | 18.5 | 18.8 | 19.0 | 19.5 |
| Variations with the observer position at spacing: | | | | | | | | | | | |
| S = | 1.0H | | 2.4 | / -5.9 | | | | | 2.4 | / -5.9 | |
| | 1.5H | | 4.6 | / -13.0 | | | | | 4.6 | / -13.0 | |
| | 2.0H | | 6.6 | / -33.9 | | | | | 6.6 | / -33.9 | |